

Series de tiempo univariadas - Presentación 20

Mauricio Alejandro Mazo Lopera

Universidad Nacional de Colombia
Facultad de Ciencias
Escuela de Estadística
Medellín



UNIVERSIDAD
NACIONAL
DE COLOMBIA

Ejemplo: TRM modelada a través de Brent y ARIMA:

Recuerden que en la presentación pasada tratamos de realizar un proceso de Backtesting para el modelo que buscaba explicar la TRM a través del precio internacional del petróleo Brent y un ARIMA:

```
library(tidyverse)
library(magrittr)
library(forecast)
library(janitor)
library(lubridate)
library(lmtest)

petroleo<-read.csv("../..//DATOS/petroleo_brent_historico.csv",
                  encoding = "utf-8", dec = ",")
trm <- read.csv("../..//DATOS/trm_historico.csv")
```

Ejemplo: TRM modelada a través de Brent y ARIMA:

Organizamos las BD:

```
petroleo %<>% clean_names()
petroleo$i_fecha %<>% str_replace_all(".", "\\.", "-") %>%
  as.Date(format = "%d-%m-%Y")
trm$VIGENCIADESDE %<>% as.Date(format = "%d/%m/%Y")
petroleo %<>% rename("fecha" = "i_fecha")
trm %<>% rename("fecha" = "VIGENCIADESDE")

bd_juntas <- merge(petroleo, trm, by = "fecha")

bd_juntas %<>% rename("brent" = "apertura",
                     "trm" = "VALOR")

bd_juntas %<>% arrange(-desc(fecha))
```

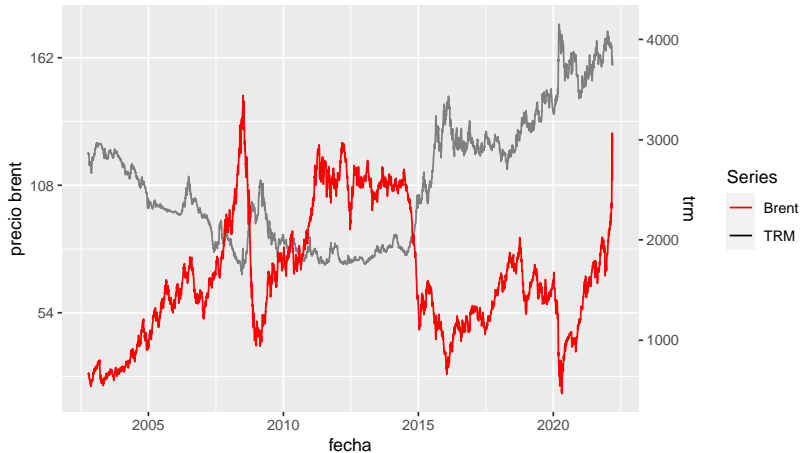
Ejemplo: TRM modelada a través de Brent y ARIMA:

Graficamos:

```
bd2 = round(c(2,4,6)*sd(bd_juntas$brent), 0)

bd_juntas %>% ggplot(aes(x = fecha, y = trm/sd(trm))) +
  geom_line(aes(color="trm/sd(trm)")) +
  geom_line(aes(x = fecha, y = brent/sd(brent)), col="red") +
  scale_y_continuous(name = "precio brent", labels = bd2,
                     breaks = c(2,4,6),
                     sec.axis = sec_axis(~.*sd(bd_juntas$trm),
                                          name = "trm"))+
  scale_color_manual(name = "Series",
                     values = c("Brent" = "red", "TRM" = "black"))
```

Ejemplo: TRM modelada a través de Brent y ARIMA:

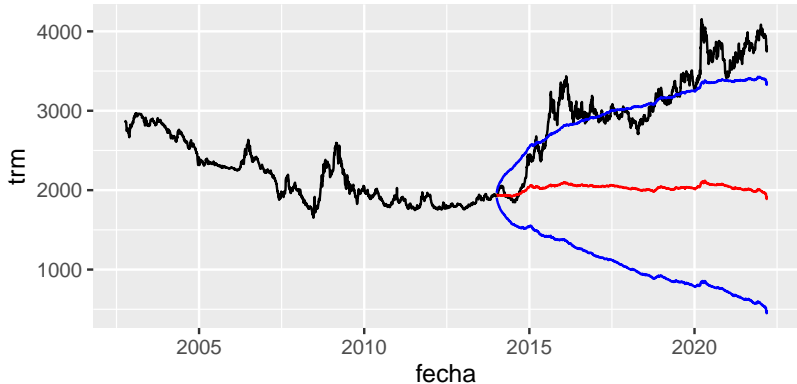


Ejemplo: TRM modelada a través de Brent y ARIMA:

```
bd_juntas$anio <- year(bd_juntas$fecha)
train <- bd_juntas %>% filter(anio < 2014)
test <- bd_juntas %>% filter(anio >= 2014)
disenio3 <- model.matrix(~-1+train$brent)
colnames(disenio3) <- "brent"
modelo3 <- auto.arima(train$trm, xreg = disenio3,
                      stepwise = F, approximation = F)
require(forecast)
disenio3_test <- model.matrix(~-1+test$brent)
colnames(disenio3_test) <- "brent"
fore3 <- forecast(modelo3, xreg = disenio3_test,
                  h = nrow(test))
test$pred <- fore3$mean
test$li95 <- fore3$lower[,2]
test$ls95 <- fore3$upper[,2]
```

Ejemplo: TRM modelada a través de Brent y ARIMA:

```
ggplot(bd_juntas, aes(x=fecha, y=trm))+ geom_line()+  
  geom_line(data=test, aes(x=fecha, y=pred), col="red")+  
  geom_line(data=test, aes(x=fecha, y=li95), col="blue")+  
  geom_line(data=test, aes(x=fecha, y=ls95), col="blue")
```



TAREA: Repetir el proceso con otros datos **train** y **test**.

Anteriormente vimos que es posible suavizar una serie de tiempo X_1, X_2, \dots, X_n por medio de promedios móviles bilaterales de “tamaño” m (para m impar):

$$X_t^* = \frac{X_{t-(m-1)/2} + \dots + X_t + \dots + X_{t+(m-1)/2}}{m}$$

El problema de este método es que para hacer predicciones a futuro se hace necesario tener la mitad de las observaciones por encima de t , lo cual técnicamente no es posible cuando tenemos, por ejemplo, el último valor de la serie (X_n) y queremos conocer cuál es el valor del pronóstico siguiente (X_{n+1}).

Pronósticos con modelos de suavizamiento exponencial

Una solución a este problema consiste en tomar los promedios unilaterales a izquierda de tamaño m , es decir,

$$X_t^* = \frac{X_{t-(m-1)} + \cdots + X_{t-1} + X_t}{m}$$

En este caso, el pronóstico de la serie 1 valor a futuro, se podría definir como:

$$\hat{X}_{n+1} = \frac{X_{n-(m-1)} + \cdots + X_{n-1} + X_n}{m}$$

Siguiendo este mismo proceso, el pronóstico 2 valores a futuro sería:

$$\hat{X}_{n+2} = \frac{X_{n-(m-2)} + \cdots + X_{n-1} + X_n + \hat{X}_{n+1}}{m}$$

Así mismo, el pronóstico 3 valores a futuro sería:

$$\hat{X}_{n+3} = \frac{X_{n-(m-3)} + \cdots + X_{n-1} + X_n + \hat{X}_{n+1} + \hat{X}_{n+2}}{m}$$

Pronósticos con modelos de suavizamiento exponencial

Así mismo, el pronóstico 3 valores a futuro sería:

$$\hat{X}_{n+3} = \frac{X_{n-(m-3)} + \cdots + X_{n-1} + X_n + \hat{X}_{n+1} + \hat{X}_{n+2}}{m}$$

Se deduce entonces que el pronóstico h valores a futuro estaría dado por:

$$\hat{X}_{n+h} = \frac{X_{n-(m-h)} + \cdots + X_{n-1} + X_n + \hat{X}_{n+(h-2)} + \hat{X}_{n+(h-1)}}{m}$$

con $n - (m - h) > 0$.

Pronósticos con modelos de suavizamiento exponencial

Así mismo, el pronóstico 3 valores a futuro sería:

$$\hat{X}_{n+3} = \frac{X_{n-(m-3)} + \cdots + X_{n-1} + X_n + \hat{X}_{n+1} + \hat{X}_{n+2}}{m}$$

Se deduce entonces que el pronóstico h valores a futuro estaría dado por:

$$\hat{X}_{n+h} = \frac{X_{n-(m-h)} + \cdots + X_{n-1} + X_n + \hat{X}_{n+(h-2)} + \hat{X}_{n+(h-1)}}{m}$$

con $n - (m - h) > 0$.

NOTE QUE: Cuando h es muy grande, los pronósticos más lejanos se ven muy influenciados por los pronósticos anteriores. Además, el tamaño de la ventana, m , puede ser seleccionado de tal forma que los pronósticos funcionen de la “mejor” forma utilizando, por ejemplo, backtesting.

La función ya está programada y podemos cargarla desde un archivo que tenemos debajo de esta presentación en Moodle con el nombre de **sma_funcion.r** y que contiene la función **sma_forecast**:

```
source("sma_funcion.r")
```

Esta función fue tomada del texto de **Rami Krispin - Hands-On Time Series Analysis With R_ Perform Time Series Analysis And Forecasting Using R-Packt Publishing (2019)**, páginas 289-290.

Pronósticos con modelos de suavizamiento exponencial

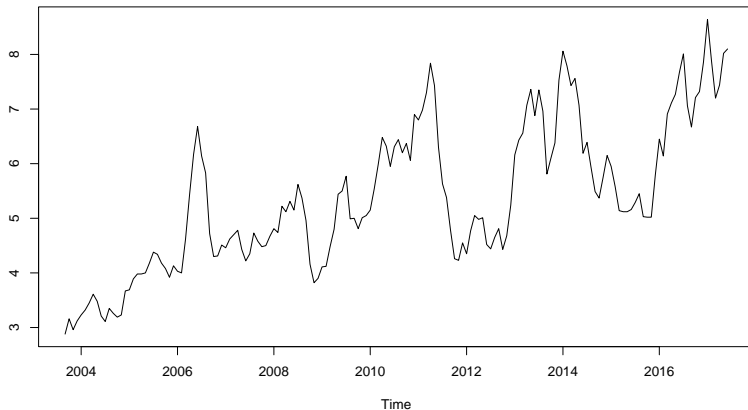
Veamos cómo funciona con una serie de tiempo denominada **salmon** y que se relaciona con los precios de exportación por kilogramo de salmon.

```
require(astsa) # Paquete que contiene la BD  
require(TSstudio)  
require(tidyverse)  
require(magrittr)  
salmon %>% ts_info()
```

```
## The . series is a ts object with 1 variable and 166 observations  
## Frequency: 12  
## Start time: 2003 9  
## End time: 2017 6
```

Pronósticos con modelos de suavizamiento exponencial

```
salmon %>% plot()
```



Pronósticos con modelos de suavizamiento exponencial

Realizamos el pronóstico de los siguientes 24 meses ($h = 24$) utilizando un tamaño de ventana $m = 4$:

```
salmon_aux <- salmon %>% ts_to_prophet()  
salmon_fore <- sma_forecast(salmon_aux, h=24, 4)  
salmon_fore %>% head(3)
```

```
##           date test train yhat      y  
## 1 2003-09-01   NA   2.88   NA 2.88  
## 2 2003-10-01   NA   3.16   NA 3.16  
## 3 2003-11-01   NA   2.96   NA 2.96
```

```
salmon_fore %>% tail(3)
```

```
##           date test train      yhat      y  
## 164 2017-04-01 7.44     NA 5.138001 7.44  
## 165 2017-05-01 8.02     NA 5.138000 8.02  
## 166 2017-06-01 8.10     NA 5.138000 8.10
```


Evaluamos la precisión de las predicciones:

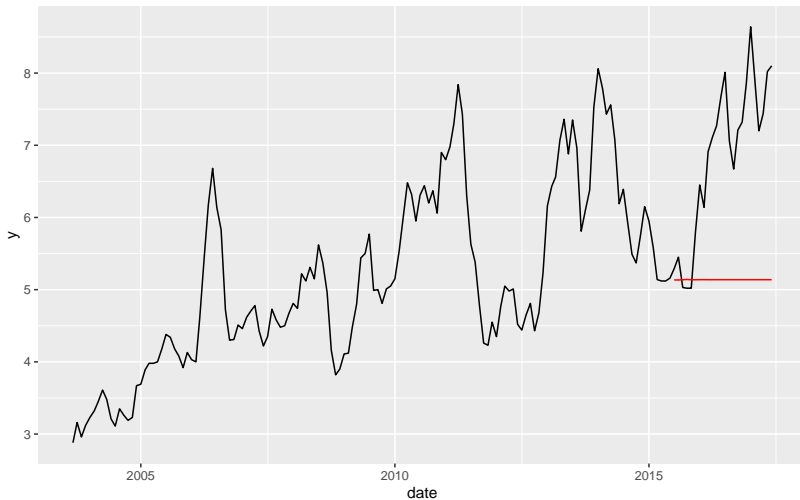
```
require(forecast)
accuracy(salmon_fore$test, salmon_fore$yhat)
```

```
##               ME      RMSE      MAE      MPE      MAPE
## Test set -1.718917 2.025525 1.747711 -33.45533 34.01567
```

Graficamos:

```
salmon_fore %>% ggplot(aes(x=date, y=y))+
  geom_line()+
  geom_line(aes(x=date, y=yhat), col="red")
```

Pronósticos con modelos de suavizamiento exponencial



A pesar de que el suavizamiento por medias móviles simples (Simple Moving Average, **SMA**) es bastante simple de aplicar y computacionalmente poco demandantes, tiene las siguientes limitaciones:

- Los pronósticos no son buenos para un horizonte muy amplio (h muy grande).
- Cuando se presenta estacionalidad, este método no es recomendable debido a que tiende a suavizar en exceso como vimos en el ejemplo anterior.

Este procedimiento consiste en realizar pronósticos con base en promedios ponderados no necesariamente iguales:

$$\widehat{X}_{n+h} = w_1 X_{n-(m-h)} + \cdots + w_m X_{n+(h-1)}$$

donde w_1, w_2, \dots, w_m son los pesos correspondientes a cada una de las observaciones.

Este procedimiento consiste en realizar pronósticos con base en promedios ponderados no necesariamente iguales:

$$\widehat{X}_{n+h} = w_1 X_{n-(m-h)} + \cdots + w_m X_{n+(h-1)}$$

donde w_1, w_2, \dots, w_m son los pesos correspondientes a cada una de las observaciones. En el ejemplo de los datos de **salmon** vemos que existe una estacionalidad anual y podemos entonces darle pesos a los pronósticos de acuerdo a los valores de un año atrás (enero de el año actual con enero del año pasado, etc).

Pronósticos con suavizamiento exponencial ponderado:

Aplicamos la función **sma_forecast** utilizando ponderaciones:

```
salmon_fore_w1 <- sma_forecast(salmon_aux, h=12,  
                               m=48, w= c( rep(0,11), 0.45,  
                                           rep(0,11), 0.35,  
                                           rep(0,11), 0.15,  
                                           rep(0,11), 0.05))
```

En este caso se da un peso de 0.45 (45 %) al dato de un año antes, 0.35 (35 %) al dato dos años antes, etc.

Pronósticos con suavizamiento exponencial ponderado:

Aplicamos la función **sma_forecast** utilizando ponderaciones:

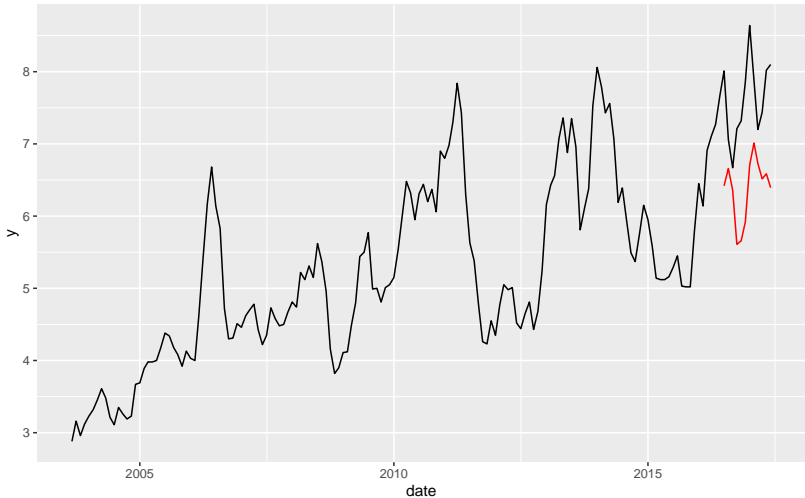
```
salmon_fore_w1 <- sma_forecast(salmon_aux, h=12,  
                               m=48, w= c( rep(0,11), 0.45,  
                                           rep(0,11), 0.35,  
                                           rep(0,11), 0.15,  
                                           rep(0,11), 0.05))
```

En este caso se da un peso de 0.45 (45 %) al dato de un año antes, 0.35 (35 %) al dato dos años antes, etc.

Graficamos:

```
salmon_fore_w1 %>% ggplot(aes(x=date, y=y))+  
  geom_line()+  
  geom_line(aes(x=date, y=yhat), col="red")
```

Pronósticos con modelos de suavizamiento exponencial



NOTA: No se captura la tendencia creciente.

Pronósticos con el método de Holt

Este método se basa en estimar el nivel más reciente y la tendencia mediante el uso de dos parámetros de suavizamiento α y β . Si denotamos por L_n al valor del nivel más reciente y T_n a la tendencia más reciente, usamos el pronóstico de la serie en el instante $n + h$ como:

$$\hat{X}_{n+h} = L_n + hT_n$$

Los cálculos para los valores más recientes de los niveles y la tendencia se obtienen con las ecuaciones:

$$L_n = \alpha X_n + (1 - \alpha)(L_{n-1} + T_{n-1})$$

$$T_n = \beta(L_n - L_{n-1}) + (1 - \beta)T_{n-1}$$

Dado un conjunto de **entrenamiento** el método de Holt consiste en encontrar el α y el β que minimicen la suma cuadrática del error.

Pronósticos con el método de Holt

```
salmon_par <- ts_split(salmon, sample.out = 12)
train <- salmon_par$train
test <- salmon_par$test
fore_holt <- holt(train, h = 12, initial = "optimal")
fore_holt$model
```

```
## Holt's method
##
## Call:
## holt(y = train, h = 12, initial = "optimal")
##
## Smoothing parameters:
##   alpha = 0.9999
##   beta  = 1e-04
##
## Initial states:
##   l = 2.6089
##   b = 0.0339
##
## sigma: 0.3949
##
##      AIC      AICc      BIC
## 495.4985 495.9039 510.6832
```

Pronósticos con el método de Holt

Obtenemos la precisión del modelo:

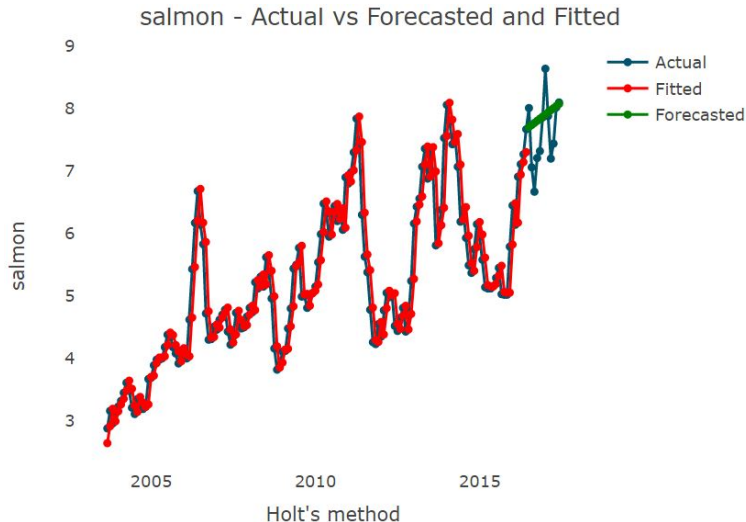
```
accuracy(fore_holt, test)
```

```
##                               ME      RMSE      MAE      MPE      MAPE      MASE
## Training set -0.001025402 0.3897762 0.2976661 -0.2428901 5.598641 0.2765364
## Test set    -0.272667037 0.5669235 0.4497604 -4.0420436 6.141209 0.4178343
##                               ACF1 Theil's U
## Training set 0.2890116      NA
## Test set    0.3038011 1.060374
```

Graficamos con la función

```
test_forecast(salmon, forecast.obj = fore_holt,
              test = test)
```

Pronósticos con el método de Holt



Como vimos antes, el problema del método de Holt es que no tiene en cuenta la estacionalidad de la serie. El método de Holt-Winters es una extensión del método de Holt y se plantea como:

$$\hat{X}_{n+h} = L_n + hT_n + S_{n+h-k}$$

donde:

$$L_n = \alpha(X_n - S_{n-k}) + (1 - \alpha)(L_{n-1} + T_{n-1})$$

$$T_n = \beta(L_n - L_{n-1}) + (1 - \beta)T_{n-1}$$

$$S_n = \gamma(X_n - L_n) + (1 - \gamma)S_{n-k}$$

Dado un conjunto de **entrenamiento** el método de Holt-Winters consiste en encontrar el α , β y γ que minimicen la suma cuadrática del error.

Pronósticos con el método de Holt-Winters

En el paquete **stats** se encuentra la función **HoltWinters**:

```
salmon_par <- ts_split(salmon, sample.out = 12)
train <- salmon_par$train
test <- salmon_par$test
modelo_hw <- HoltWinters(train)
modelo_hw
```

```
## Holt-Winters exponential smoothing with trend and additive seasonal component.
##
## Call:
## HoltWinters(x = train)
##
## Smoothing parameters:
## alpha: 0.9297855
## beta : 0
## gamma: 1
##
## Coefficients:
##           [,1]
## a      7.69325851
## b      0.04523456
## s1    -0.09571717
## s2    -0.19934946
## s3    -0.40825507
## s4    -0.41252986
## s5    -0.32527174
## s6     0.10020025
```

Pronósticos con el método de Holt-Winters

Realizamos los pronósticos y vemos la precisión del modelo ajustado:

```
fore_hw <- forecast(modelo_hw, h = 12)
fore_hw
```

##		Point Forecast	Lo 80	Hi 80	Lo 95	Hi 95
##	Jul 2016	7.642776	7.161272	8.124280	6.906379	8.379172
##	Aug 2016	7.584378	6.926900	8.241856	6.578853	8.589904
##	Sep 2016	7.420707	6.625278	8.216137	6.204203	8.637211
##	Oct 2016	7.461667	6.548902	8.374431	6.065714	8.857620
##	Nov 2016	7.594160	6.577513	8.610806	6.039333	9.148986
##	Dec 2016	8.073866	6.963010	9.184722	6.374959	9.772774
##	Jan 2017	8.150661	6.952983	9.348339	6.318971	9.982351
##	Feb 2017	8.135370	6.856753	9.413988	6.179893	10.090847
##	Mar 2017	8.358468	7.003737	9.713198	6.286587	10.430349
##	Apr 2017	8.558764	7.131976	9.985553	6.376680	10.740849
##	May 2017	8.511305	7.015926	10.006683	6.224321	10.798288
##	Jun 2017	8.212815	6.651858	9.773772	5.825537	10.600093

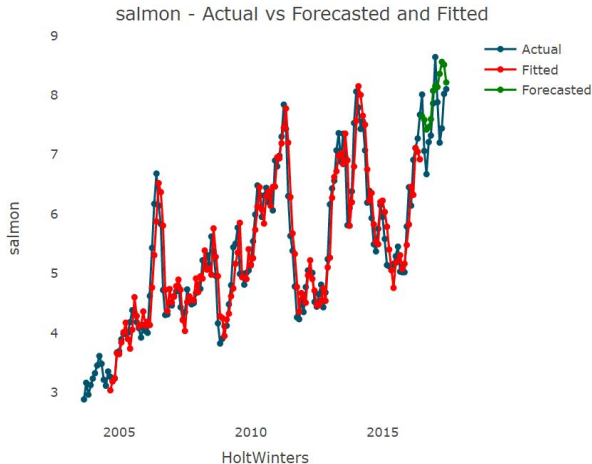
```
accuracy(fore_hw, test)
```

##		ME	RMSE	MAE	MPE	MAPE	MASE
##	Training set	-0.01428828	0.3746667	0.2933025	-0.5638717	5.389225	0.2724825
##	Test set	-0.35791140	0.5993108	0.5006719	-5.0231274	6.731163	0.4651319
##		ACF1 Theil's U					
##	Training set	0.2986668	NA				

Pronósticos con el método de Holt-Winters

Graficamos con la función

```
test_forecast(salmon, forecast.obj = fore_hw,  
              test = test)
```



Pronósticos: Ejemplo de USgas

Como vimos antes, los datos de la BD **salmon** no tienen un comportamiento estacional anual muy evidente o regular, por este motivo el método de Holter-Winters no generó pronósticos totalmente claros.

Pronósticos: Ejemplo de USgas

Como vimos antes, los datos de la BD **salmon** no tienen un comportamiento estacional anual muy evidente o regular, por este motivo el método de Holter-Winters no generó pronósticos totalmente claros.

A continuación aplicaremos tres métodos vistos en esta clase para tratar de pronosticar la demanda de gas:

```
require(TSstudio)
USgas %>% ts_info()
```

```
## The . series is a ts object with 1 variable and 238 observations
## Frequency: 12
## Start time: 2000 1
## End time: 2019 10
```

Pronósticos con el método de Holt-Winters

```
USgas_par <- ts_split(USgas, 12)
train_gas <- USgas_par$train
test_gas <- USgas_par$test

# Medias móviles simples:
USgas_aux <- USgas %>% ts_to_prophet()
modelo_sma <- sma_forecast(USgas_aux, h=12, m=4)

# Modelo Holt:
modelo_holt <- holt(train_gas, h = 12,
                    initial = "optimal")

# Modelo Holt-Winters:
modelo_hw <- HoltWinters(train_gas)
fore_hw <- forecast(modelo_hw, h = 12)
```

Pronósticos con el método de Holt-Winters

Vemos la precisión de los tres modelos:

```
accuracy(modelo_sma$yhat, modelo_sma$test)
```

```
##                ME      RMSE      MAE      MPE      MAPE
## Test set 327.1106 516.2866 386.7022 10.67589 13.46154
```

```
accuracy(modelo_holt, test_gas)
```

```
##                ME      RMSE      MAE      MPE      MAPE      MASE
## Training set   0.8646902 285.2349 228.1735 -0.8280563 10.94771 1.981613
## Test set      310.1067256 502.4591 380.6257 10.0214029 13.31273 3.305612
##                ACF1 Theil's U
## Training set 0.3747401      NA
## Test set    0.6969289  1.508713
```

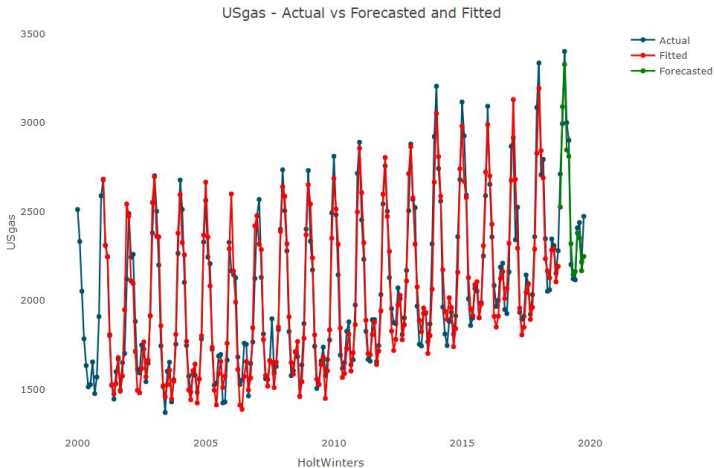
```
accuracy(fore_hw, test_gas)
```

```
##                ME      RMSE      MAE      MPE      MAPE      MASE
## Training set   7.828361 115.2062 87.67420 0.2991952 4.248131 0.7614222
## Test set      51.013877 115.1555 98.06531 1.7994297 3.766099 0.8516656
##                ACF1 Theil's U
## Training set 0.21911103      NA
## Test set    -0.01991923 0.3652142
```

Pronósticos con el método de Holt-Winters

Graficamos con la función

```
test_forecast(actual = USgas,  
              forecast.obj = fore_hw, test = test_gas)
```



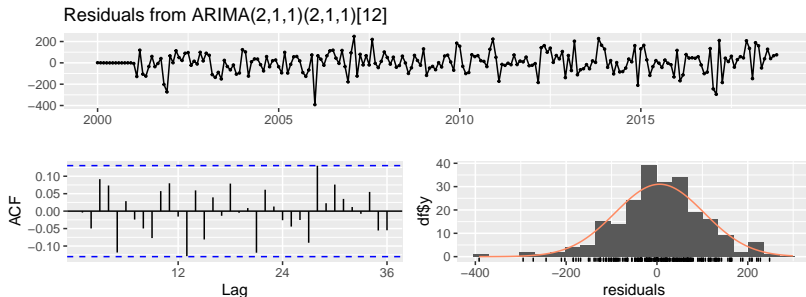
Si aplicamos un **auto.arima** a la serie vemos que:

```
modelo_auto1 <- auto.arima(train_gas)
modelo_auto1
```

```
## Series: train_gas
## ARIMA(2,1,1)(2,1,1)[12]
##
## Coefficients:
##          ar1      ar2      ma1      sar1      sar2      sma1
##      0.4301 -0.0372 -0.9098  0.0117 -0.2673 -0.7431
## s.e.  0.0794  0.0741  0.0452  0.0887  0.0830  0.0751
##
## sigma^2 = 10446:  log likelihood = -1292.83
## AIC=2599.67  AICc=2600.22  BIC=2623.2
```

Pronósticos: Ejemplo de USgas

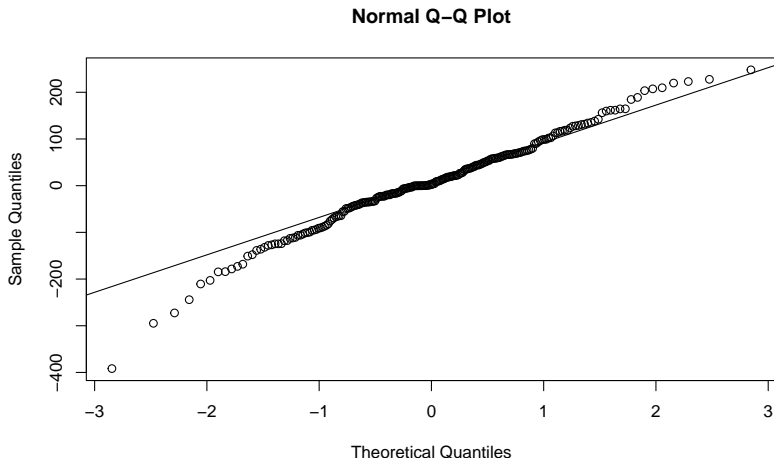
```
modelo_auto1 %>% checkresiduals(lag=25)
```



```
##  
##  Ljung-Box test  
##  
## data:  Residuals from ARIMA(2,1,1)(2,1,1)[12]  
## Q* = 25.451, df = 19, p-value = 0.1462  
##  
## Model df: 6.    Total lags used: 25
```

Pronósticos: Ejemplo de USgas

```
modelo_auto1$residuals %>% qqnorm()  
modelo_auto1$residuals %>% qqline()
```



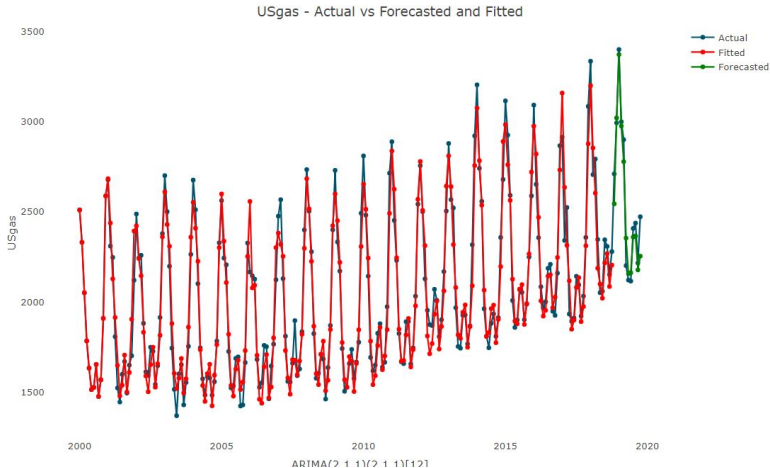
Pronósticos: Ejemplo de USgas

```
require(forecast)
USgas_fc_auto1 <- forecast(modelo_auto1, h = 12)
USgas_fc_auto1
```

##	Point Forecast	Lo 80	Hi 80	Lo 95	Hi 95
## Nov 2018	2543.848	2412.863	2674.832	2343.524	2744.171
## Dec 2018	3020.624	2872.969	3168.278	2794.805	3246.442
## Jan 2019	3372.018	3219.976	3524.059	3139.491	3604.545
## Feb 2019	2975.209	2821.146	3129.272	2739.590	3210.828
## Mar 2019	2777.974	2622.463	2933.485	2540.141	3015.807
## Apr 2019	2353.685	2196.894	2510.476	2113.894	2593.476
## May 2019	2155.955	1997.939	2313.970	1914.291	2397.618
## Jun 2019	2161.846	2002.630	2321.062	1918.346	2405.346
## Jul 2019	2359.808	2199.405	2520.212	2114.492	2605.125
## Aug 2019	2365.725	2204.144	2527.306	2118.608	2612.842
## Sep 2019	2177.364	2014.615	2340.114	1928.460	2426.268
## Oct 2019	2253.671	2089.761	2417.581	2002.993	2504.350

Pronósticos: Ejemplo de USgas

```
test_forecast(actual = train_USgas,  
              forecast.obj = USgas_fc_auto1,  
              test = test_gas)
```



Pronósticos: Ejemplo de USgas

Vemos la precisión de los dos modelos:

```
accuracy(fore_hw, test_gas)
```

```
##              ME      RMSE      MAE      MPE      MAPE      MASE
## Training set  7.828361 115.2062 87.67420 0.2991952 4.248131 0.7614222
## Test set     51.013877 115.1555 98.06531 1.7994297 3.766099 0.8516656
##              ACF1 Theil's U
## Training set  0.21911103      NA
## Test set     -0.01991923 0.3652142
```

```
accuracy(USgas_fc_auto1$mean, test_gas)
```

```
##              ME      RMSE      MAE      MPE      MAPE      ACF1 Theil's U
## Test set  37.84788 103.2285 81.46603 1.310799 3.261643 -0.04670893 0.3404092
```

Como vemos el modelo obtenido con **auto.arima** arroja mejores resultados, pero no cumple con el supuesto de normalidad. Con Holter-Winters dicho supuesto no fue necesario.